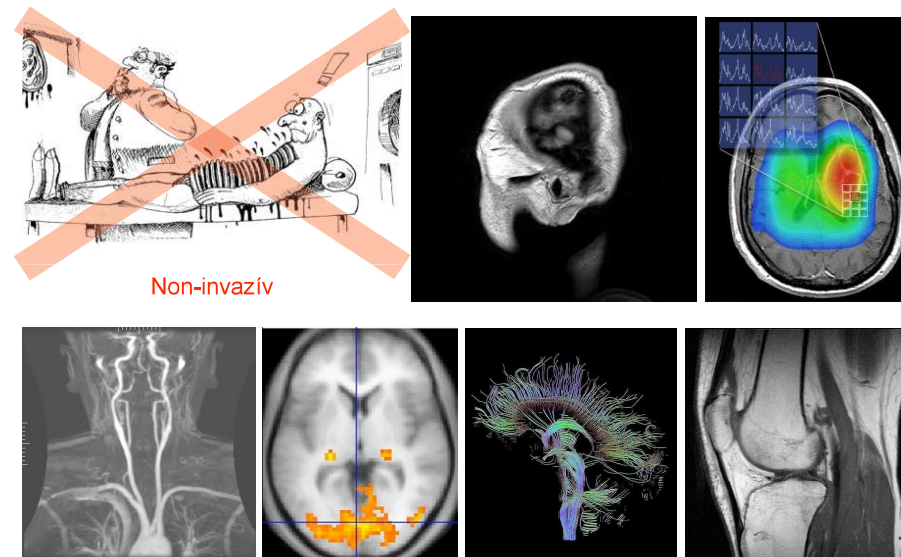


# MRI

NMR (Nuclear Magnetic Resonance) tomography  
Magnetic Resonance Imaging

## MRI: orvosi diagnosztikát forradalmasító képalkotó módszer



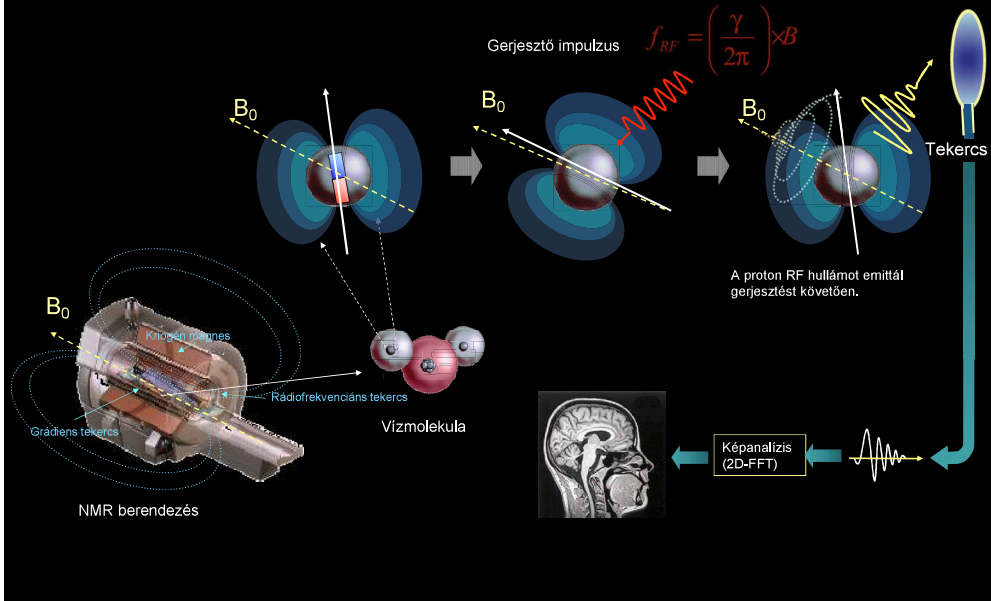
# MRI

- Történelem
- MRI alapok  
Magspin, precesszió, rezonancia, gerjesztés-relaxáció
- MRI képalkotás
  - I. Térkódolás
  - II. Képrekonstrukció
  - III. Színkontraszt
  - IV. Szkennerek
  - V. Kontrasztanyagok
  - VI. Műtermékek
  - VII. Veszélyek, kontraindikációk
- Alkalmazások, a jövő irányai

# MRI történelem

- 1955 Odeblad: különböző szövetek NMR spektroszkópiás vizsgálata
- 1970 - Raymond Damadian: rákos és normál szövetek T1 és T2 relaxációs idejei különböznek.
- 1973 - Paul Lauterbur: 2D MR képalkotó módszer
- 1974 - Peter Mansfield: 3D MR képalkotó módszer
- 2003 - Nobel-díj: Lauterbur, Mansfield
- NMR: Legtöbb Nobel-díjjal kitüntetett módszer (6)  
Otto Stern (1942), Isidor Rabi (1944), Felix Bloch, Edward Purcell (1952), Richard Ernst (1991), Kurt Wüthrich (2002)

# MRI működése - rövid összefoglalás



# MRI alapok

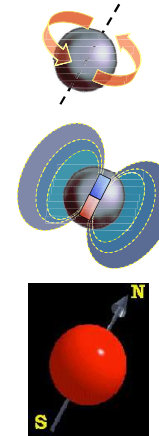
## I. az eredő spinnel rendelkező atommagok elemi mágnesek



Otto Stern



W. Gerlach



Atommag perdülete:

$$L = \sqrt{l(l+1)}\hbar$$

$l$  = spin kvantum szám

Atommag eredő mágneses momentuma:

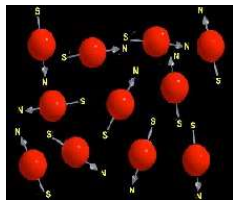
$$\mu_i = \gamma L$$

$\gamma$  = giromágneses hányados  
 $L$  = magspin

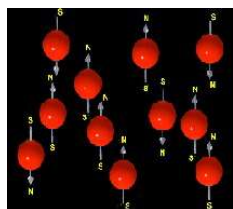
MRI-ben hasznos atommagok:  
Páratlan proton v. neutronszám.  
PI:  $^1\text{H}$ ,  $^{13}\text{C}$ ,  $^{19}\text{F}$ ,  $^{23}\text{N}$ ,  $^{31}\text{P}$

# MRI alapok

## II. Mágneses térben a magspinek orientálódnak

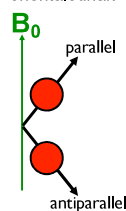


Mágneses tér hiányában:  
elemi mágnesek orientációja random

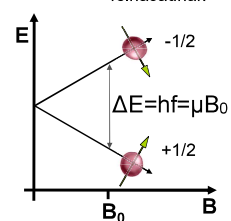


Mágneses térben:

elemi mágnesek orientálódnak



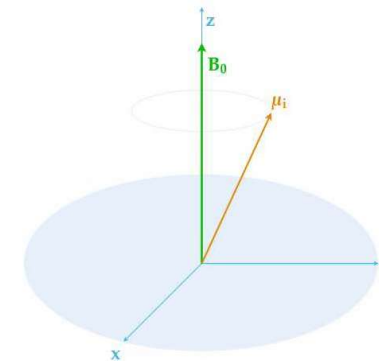
energiaszintek felhasadnak



Edward Purcell, 1946

# MRI alapok

## Az orientált magspinek precessziós mozgást végeznek



Precessziós vagy Larmor frekvencia:

$$\omega_p = \gamma B_0$$

$$f_{Larmor} = \frac{\gamma}{2\pi} B_0$$

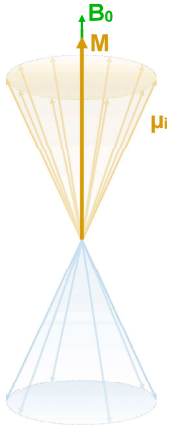


Felix Bloch, 1946

# Makroszkópos mágnesezettség

Különböző energiaszinteken spintöbbség miatt

Alacsony energiájú állapot  
parallel a proton esetében



$B_0$  = mágneses tér  
 $M$  = makroszkópikus mágnesezettség

A nagy (antiparallel) ill. alacsony (parallel) energiájú spinállapotok aránya:

$$\frac{N_{antiparallel}}{N_{parallel}} = e^{-\frac{\Delta E}{k_B T}}$$

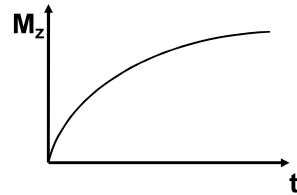
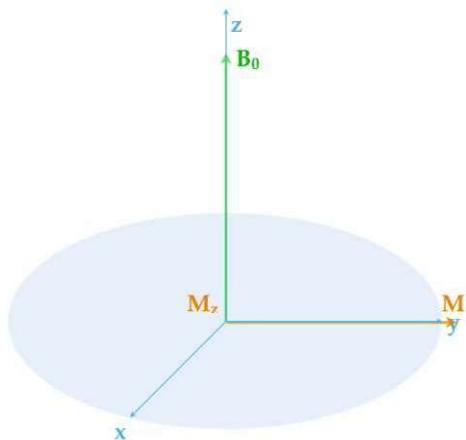
(Boltzmann-eloszlás)

MRI-ben alkalmazott mágneses térerő:  
Föld mágneses térérejének 20-50 ezerszerese:  
néhány T (tesla)

Nagy energiájú állapot  
antiparallel a proton esetében

# Spin-rács relaxáció

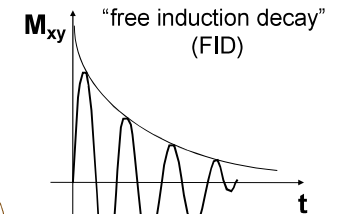
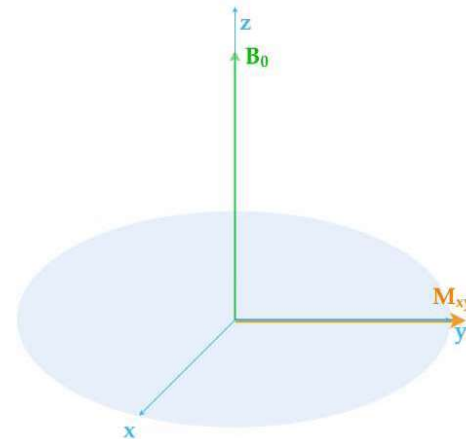
T1 vagy longitudinális relaxáció



T1 relaxációs idő:  
elemi mágnes (proton) és környezete közötti kölcsönhatásra utal

# Spin-spin relaxáció

T2 vagy tranzverzális relaxáció

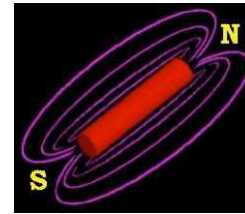


T2 relaxációs idő:  
elemi mágnesek (protonok) közötti kölcsönhatásra utal

# MRI alapok

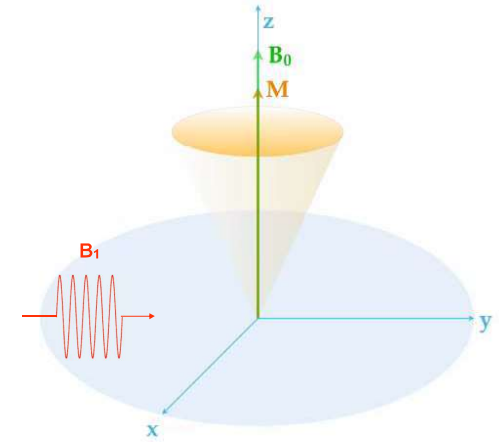
III. rádófrekvenciás sugárzással a rendszer gerjeszthető

Rezonancia feltétel: Larmor frekvencia



$B_0$  = mágneses tér  
 $M$  = makroszkópos mágnesezettség  
 $B_1$  = besugárzott elektromágneses tér

MRI-ben alkalmazott elektronmágneses sugárzás:  
Rádófrekvencia



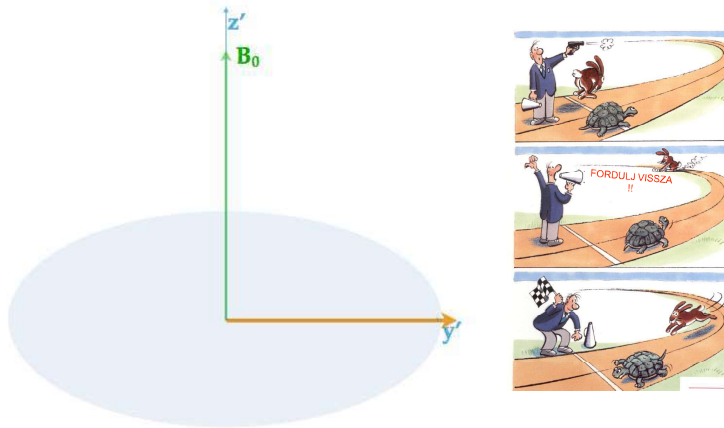
# Spin-spin relaxáció

## T2 vagy tranzverzális relaxáció

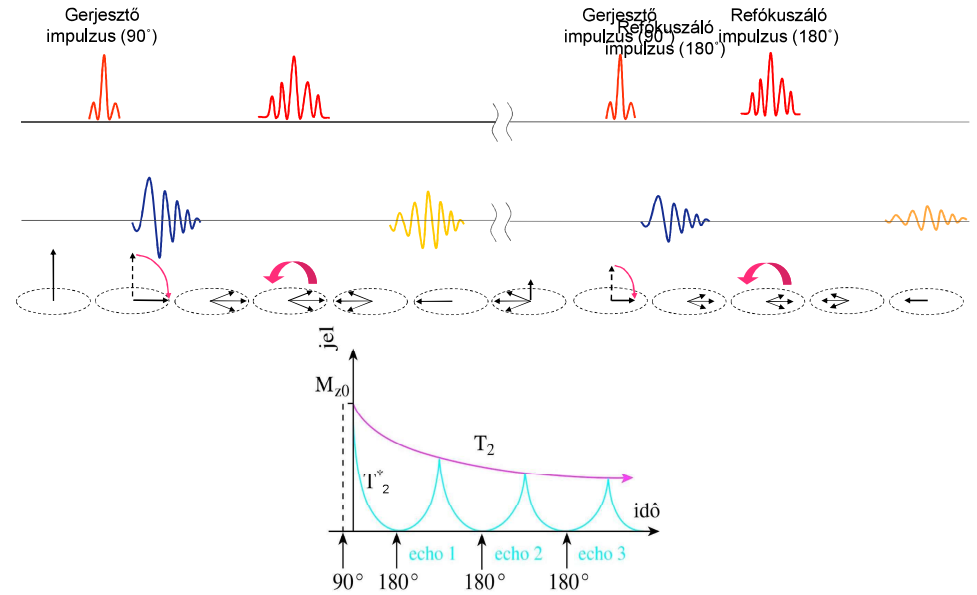
Ismétlődő gerjesztő és relaxációs impulzusok: spin-echo szekvencia



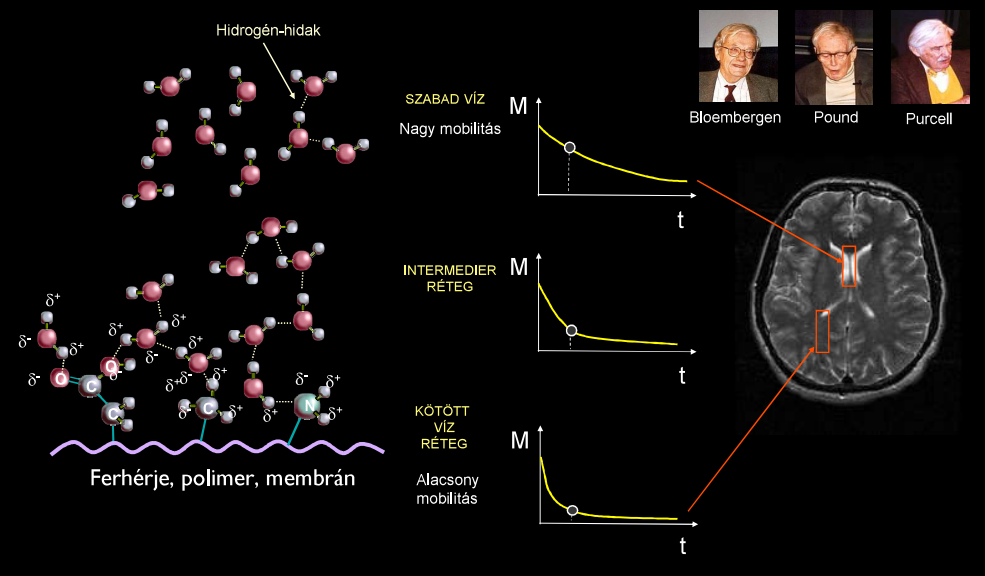
Erwin Hahn, 1949



# A "spin-echo" kísérlet

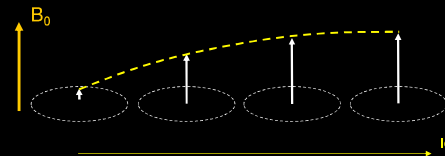
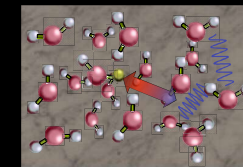


# Kontraszt lehetőség a spin rendszerek kölcsönhatásai alapján



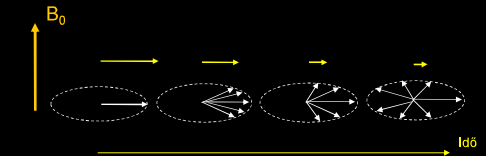
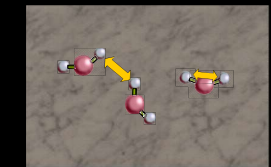
# Kontrasztot adó relaxációs mechanizmusok

Spin-rács relaxáció T1



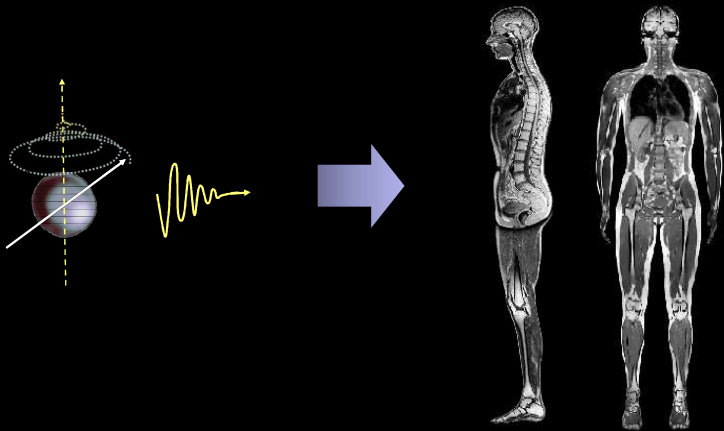
A longitudinális mágnesszettség helyreállása  
Energiaátadás a rácsnak (fononok - kollektív gerjesztett állapot rugalmas közegben)  
Entrópiánövekedéssel jár  
Spin repopuláció az spin-energiaszintek között  
Kölcsönhatás a mágneses tér fluktuációival a Larmor frekvencián

Spin-spin relaxáció T2



A tranzverz mágnesszettség fázis szerinti deszinkronizációja  
Energiaátadás a spinek között  
A spinrendszer entrópiája nem változik  
Nincs spin repopuláció az spin-energiaszintek között  
Kölcsönhatás a mágneses tér fluktuációival alacsony frekvencián

# Az NMR-től az MRI-ig



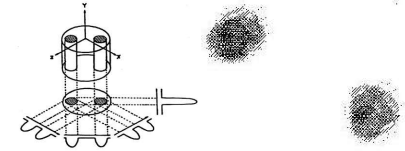
# MRI Képképzés

## II. Képrekonstrukció

### I. "Backprojection" ("visszavetítés")



Paul Lauterbur, 1973, Illinois  
Peter Mansfield, 1973, Nottingham  
Nobel-díj (2003, Élettan és Orvostudomány)



### 2. 2D Fourier transzformáció



Richard Ernst, 1974, Zürich  
Nobel-díj (1991, Kémia)

**NMR Fourier Zeugmatography**  
ANIL KUMAR, DIETER WELT, AND RICHARD R. ERNST  
*Lehranstalt für Physikalische Chemie, Eidgenössische Technische Hochschule, 8006 Zürich, Switzerland*  
Received August 2, 1974

A new technique of forming two- or three-dimensional images of a macroscopic sample by means of NMR is described. It is based on the application of a sequence of pulsed magnetic field gradients during a series of free induction decays. The image formation can be achieved by a two-dimensional Fourier transformation. The method has the advantage of high sensitivity combined with experimental and computational simplicity.



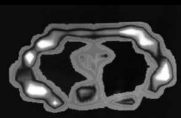
"MRI Scanner Mark One", Aberdeen, Skócia

# MRI: az emberi test makroszkópikus mágnesezettségét hozza létre

Downstate Medical Center - Brooklyn, 1972



Raymond V. Damadian



Az első MRI felvétel

**United States Patent** (19)  
**Damadian**

[54] APPARATUS AND METHOD FOR DETECTING CANCER IN TISSUE  
[76] Inventor: Raymond V. Damadian, 64 Short Hill Rd., Forest Hill, N.Y. 11375  
[22] Filed: Mar. 17, 1972  
[21] Appl. No.: 235,624

[52] U.S. Cl. 128/2 R, 128/2 A, 324/5 R  
[51] Int. Cl. A61b 5/05  
[56] Field of Search: 128/2 R, 2 A, 1.3, 324/5 A, 324/5 B

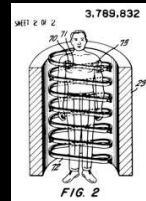
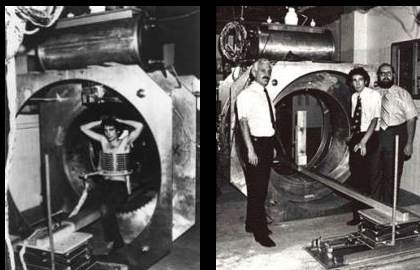


FIG. 2

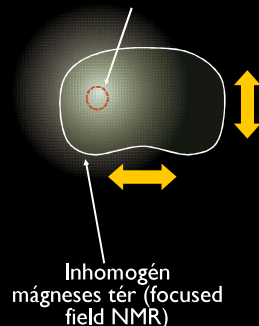


"Indomitabile" - rettenthetetlen

1970: megnőtt relaxációs idők rákos szövetben  
1972: humán in vivo 3D NMR elvének kidolgozása  
1977: felső emberi MRI felvétel

$$\omega = \gamma B$$

Rezonanciafeltétel lokálisan teljesül



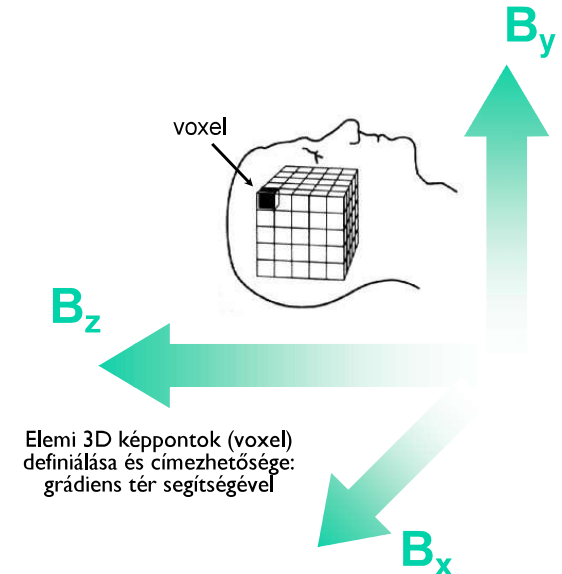
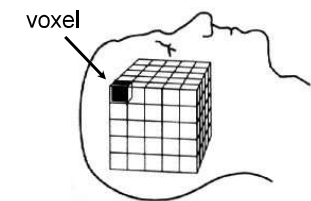
Inhomogén mágneses tér (focused field NMR)

# MRI képképzés

## I. Térbeli kódolás

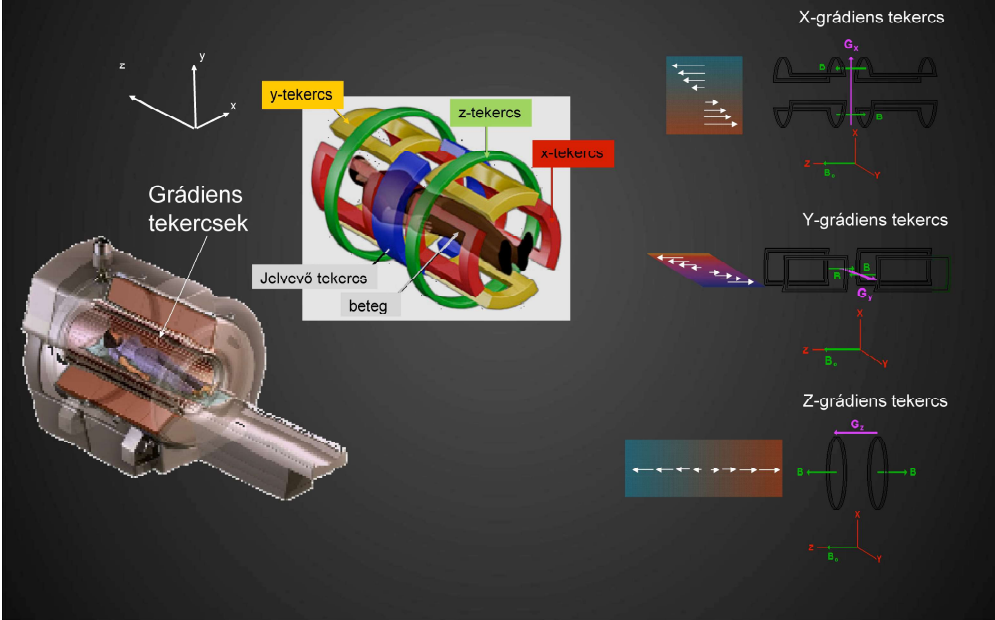


Paul C. Lauterbur (1929-)  
Térbeli felbontású NMR kidolgozása



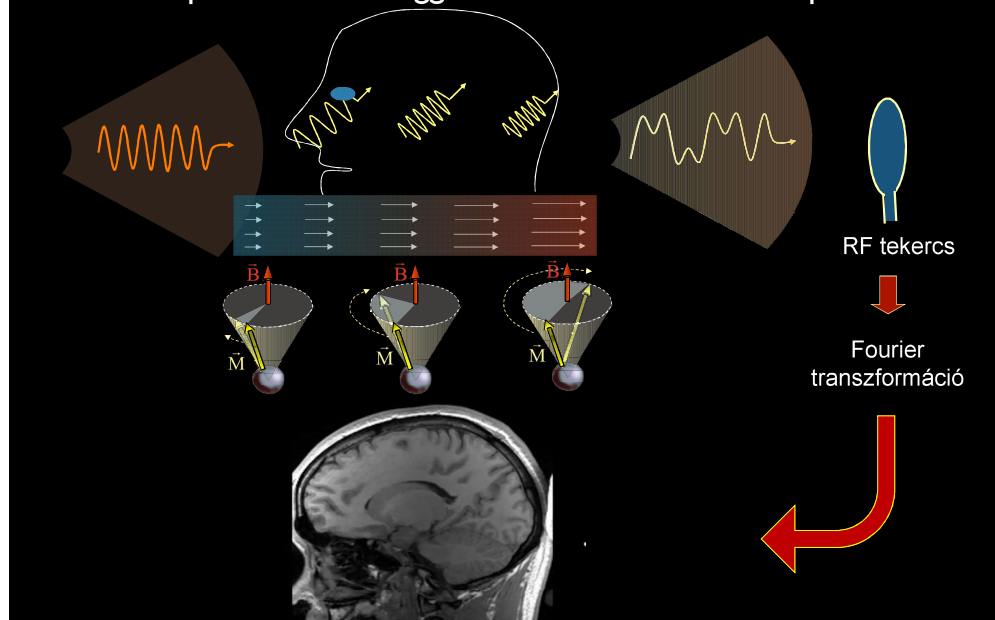
Elemi 3D képpontok (voxel) definiálása és címezhetősége: gradiens tér segítségével

# Térben változó mágneses tér létrehozása: "grádiens" tekercsekkel



# MRI: térbeli kódolás és képrekonstrukció

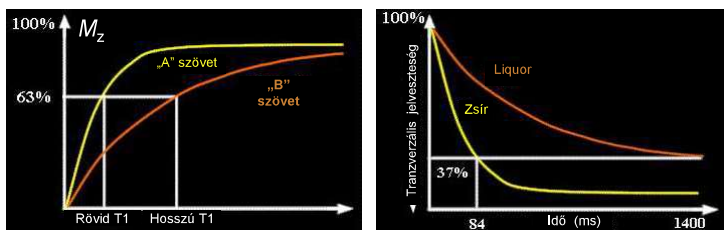
a precesszió térfüggő frekvenciaváltozásán alapul



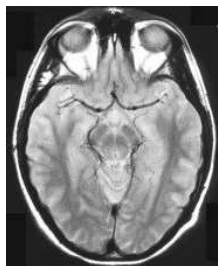
# MRI képképzés

## III. szinkontraszt felbontása

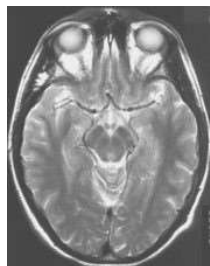
spinsűrűség és relaxációs idők alapján



T1-súlyozás



protonsűrűség-súlyozás



T2-súlyozás

# Tipikus relaxációs idők szövetekben

**Table XIV**  
Water content of fat-free normal human tissue

Tissue	Water content (%)
Skeletal muscle	79
Myocardium	80
Liver	71
Kidney	81
Brain white matter	84
Brain gray matter	72
Nerve	56
Femur cortex	12
Teeth	10

**Table XV**  
The spin-lattice relaxation time ( $T_1$ ) and spin-spin relaxation time ( $T_2$ ) of various biological tissues at 0.2 tesla

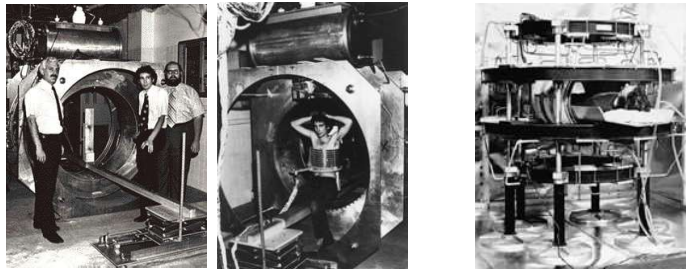
Tissue	$T_1$ , msec	$T_2$ , msec
Fat	240 ± 20	60 ± 10
Muscle	400 ± 40	50 ± 10
Gray matter	495 ± 85	100 ± 10
White matter	390 ± 70	90 ± 20
Lung	460 ± 90	80 ± 30
Kidney	670 ± 60	50 ± 10
Liver	380 ± 20	40 ± 20
Liver metastases	570 ± 190	40 ± 10
Lung carcinoma	940 ± 460	20 ± 10

Source: Morgan and Hendee, 1984

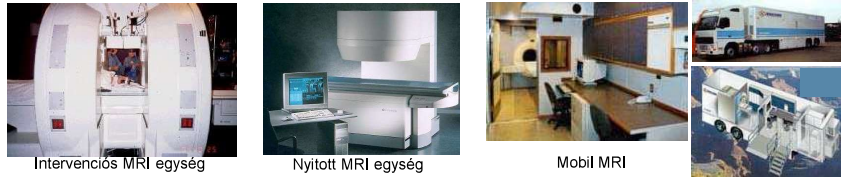
# MRI képzés:

## IV. Szkennerok

Hőskor



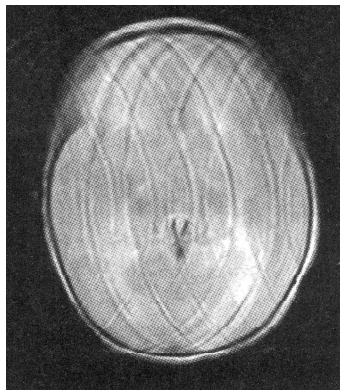
Jelen



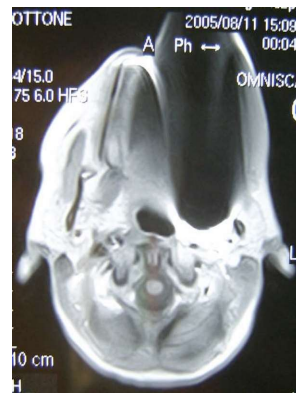
# MRI képzés:

## VI. Műtermékek

- Mozgás
- Fémek (implantátum, sérülés)



Mozgási műtermék



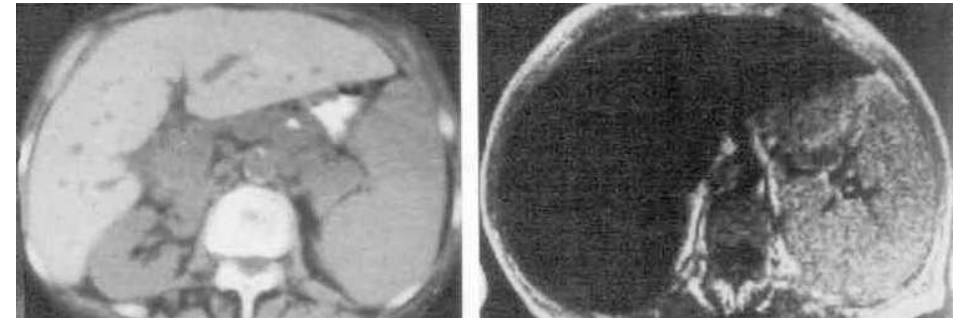
Fém az orbitában

# MRI képzés:

## V. Kontrasztanyagok

Pozitív: paramágneses elemek (T1 kontraszt): Gd, Mn

Negatív: szuperparamágneses, ferromágneses (T2 kontraszt): FeIII, MnII



CT

MR T2

Haemochromatosis hepatis (vasfelhalmozódás a májszövetben)

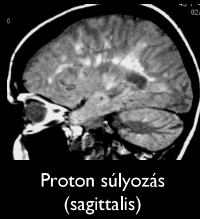
# MRI képzés:

## VII. Veszélyek, kontraindikációk

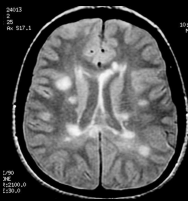
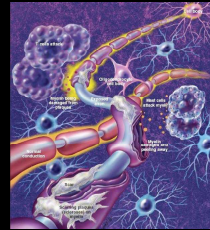
- Sztatikus mágneses tér - fémtárgyak  
Kontraindikációk: beépített eszközök (pacemaker, defibrillátor, hallókészülék, csontnövekedést serkentő készülék, gyógyszeradagoló), neurostimulátorok, agyi aneurysma csatok, régi típusú szívbillentyűk
- Grádiens tér - áramindukció
- Rádiófrekvenciás tér - hőhatás (szemlencse, here)



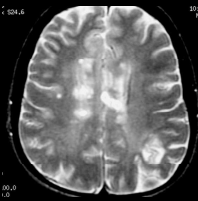
# Alkalmazások: Anatómiai képalkotás sclerosis multiplex



Proton súlyozás (sagittális)



Proton súlyozás (transversális)



T2 súlyozás (transversális)

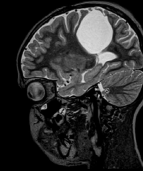


T1 súlyozás (kontrasztanyaggal)

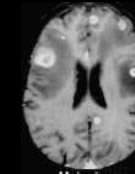
# Anatómiai képalkotás: Onkológia



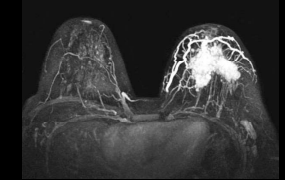
T2 súlyozás (chondrosarcoma)



T2 súlyozás (cysta)



Proton sűrűség (Agyi metastasis)



T1 súlyozás kontrasztanyaggal (Emlő carcinoma)



T2 súlyozás (cervix carcinoma)

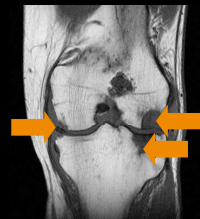


T2 súlyozás (prostata carcinoma)

# Anatómiai képalkotás csont és lágyrészek



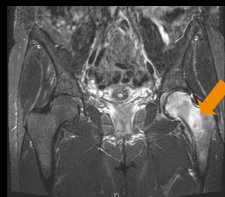
T2 súlyozás (szalag szakadás)



Rheumatoid arthritis térd



Rheumatoid arthritis csukló



Osteoporosis (femur)



T2 súlyozás (hernia)

# Az MRI sokkal több mint anatómiai képalkotás ...

**1972**

**2010**

**Első MRI képek**

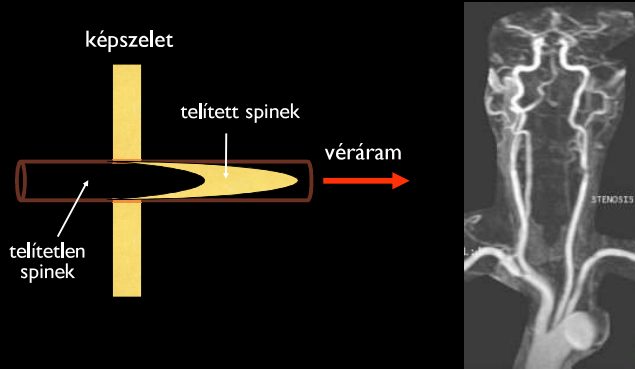
**'State of the art'**

- 3D képek
- dinamikus képalkotás
- nagy felbontás

**Kutatásban - a jövő**

- kvantitatív képalkotás
- sejt-specifikus kontrasztanyagok
- in vivo spektroszkópia
- funkcionális képalkotás
- multimodális képalkotás

# MRI: Non-invazív angiográfia



# MRI mozgókép (valós idő) Nagy időfelbontású felvételek alapján



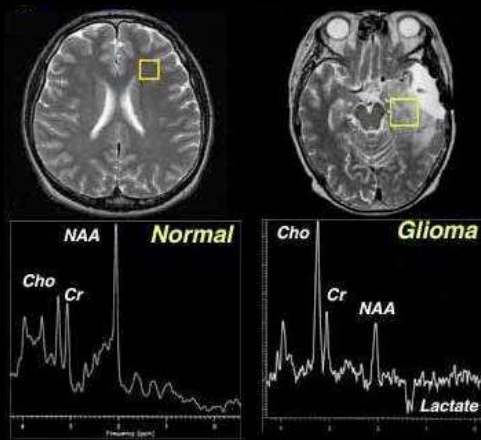
Mellkas - frontális képsorozat



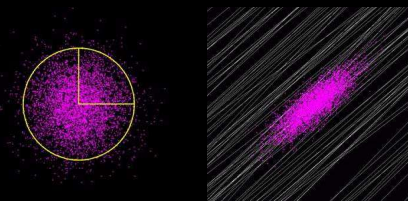
Aortabillentyű nyitódása - záródása

# MR Spektroszkópia

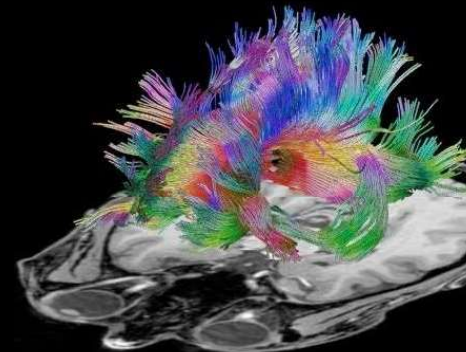
- Kémiai eltolódás (chemical shift)
- Metabolitok azonosítása
- Tumordiagnosztika



# Diffúziós képalkotás



Anizotróp vízdiffúzió:  
kontrasztkpződés

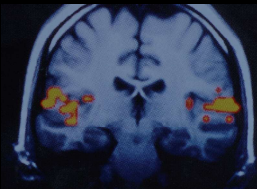
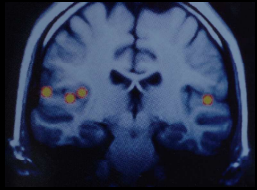


Idegpályák vizsgálata:  
traktográfia

Corpus callosum

# Funkcionális MRI (fMRI)

Élettani folyamattal szinkron felvett  
Nagy időfelbontású képsorozat

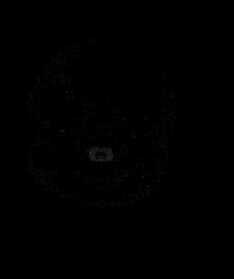


Aktiváció az acusticus  
cortexben



Villogó fény hatása a  
látókéregre

# MRI információ szuperponálása egyéb információval (PET)



# Szuperponált MRI és PET képsorozat



PET aktivitás: szemmozgatás során  
Térbeli rekonstrukció